

УДК 621.315.592

**КВАНТОВЫЙ ЭФФЕКТ ХОЛЛА
И g -ФАКТОР 2D-ЭЛЕКТРОНОВ
В ГЕТЕРОСТРУКТУРАХ НА ОСНОВЕ GaAs**

Чудинов С. М., Кульбачинский В. А., Манчини Дж.,
Медведев Б. К., Родичев Д. Ю.

Исследована температурная зависимость ширины плато ΔB_i в целочисленном квантовом эффекте Холла в гетероструктурах GaAs—Ga_{1-x}Al_xAs. Измерения проведены на образцах гетероструктур с концентрацией 2D-электронов $N = (2.5 \div 4) \cdot 10^{11} \text{ см}^{-2}$ и подвижностью $\mu = (3 \div 8) \cdot 10^5 \text{ см}^2/\text{В}\cdot\text{с}$ в области температур 0.05—4.2 К в магнитных полях B до 8.5 Т.

Получены аналитические выражения для описания зависимости ΔB_i от T .

Рассчитано среднее значение (g_i) g -фактора 2D-электронов, соответствующее квантовым плато с различными номерами i . Обнаружено, что g_i существенно зависит от магнитного поля: быстро возрастает в слабых полях и имеет тенденцию к насыщению — в сильных. В интервале полей 2—5 Т g -фактор увеличивается более чем в 1.6 раза. Найденная зависимость g от B согласуется с представлениями об обменном взаимодействии электронов на соседних подуровнях Ландау.

В настоящее время экспериментально установлено, что g -фактор электронов в двумерных (2D) системах является растущей функцией магнитного поля B . Впервые этот эффект наблюдался в работе [1] при исследовании электронных свойств инверсионных слоев на поверхности Si, а затем был обнаружен и изучен в других 2D-системах (в частности, в гетероструктурах на основе полупроводников группы Al_{1-x}Ga_xAs [2, 3]). Изменение g -фактора в магнитном поле не может быть объяснено в рамках модели свободных электронов. Наблюдающееся в работе [4] увеличение g -фактора 2D-электронов было связано с обменным взаимодействием электронов, находящихся на расщепленных по спину подуровнях Ландау.

Теоретически было показано, что g -фактор зависит от степени заполнения соседних подуровней Ландау и является не только растущей, но и осциллирующей функцией магнитного поля. Следует отметить, что перенормированный в результате обменного взаимодействия электронов g -фактор определяет далеко не все электронные свойства 2D-систем. Так, например, частота электронного спинового резонанса, а также энергии магнитооптических переходов между различными спиновыми состояниями зависят лишь от неперенормированного g -фактора 2D-электронов [5, 6]. Перенормированный же g -фактор входит во все параметры, зависящие от плотности электронных состояний на уровне Ферми, и наиболее ярко проявляется в квантовых осцилляционных эффектах.

Для экспериментального определения величины перенормированного g -фактора в настоящее время широко применяется метод наклонного поля, или метод совпадения уровней. В основе этого метода лежит то обстоятельство, что в магнитном поле B , направление которого составляет конечный угол θ с нормалью к плоскости 2D-слоя, величина орбитального расщепления определяется только нормальной компонентой поля $B \cos \theta$, тогда как спиновое расщепление — полным значением напряженности магнитного поля.

Таким образом, изменение угла наклона θ позволяет варьировать соотношения между величинами спинового и орбитального расщепления уровней Ландау и при определенных углах создавать условия, соответствующие либо спиновому демпингу первой гармоники осцилляций, либо вырождению различ-

ных подуровней Ландау [7], что в свою очередь позволяет определять спиновое расщепление по известному орбитальному расщеплению. Наиболее детально перенормировка g -фактора в магнитном поле в гетероструктурах GaAs— $\text{Ga}_{1-x}\text{Al}_x\text{As}$ методом наклонного поля изучена в работе [8].

Другим методом, используемым в настоящее время для определения перенормированного g -фактора $2D$ -электронов, является емкостной метод, основанный на изучении осцилляций химического потенциала [9].

Экспериментальные работы по измерению g -фактора $2D$ -электронов показали, что g -фактор растет в магнитном поле. Были получены некоторые данные, указывающие на осциллирующий характер зависимости g от B .

Вместе с тем имеет место значительный количественный разброс в значениях g -факторов, найденных в различных работах для одной и той же $2D$ -системы. Это связано с трудностью интерпретации экспериментальных данных, полученных указанными выше методами; необходимость учитывать осциллирующий характер полевой зависимости g и энергии Ферми ε_F существенно затрудняет вычисление величины g .

В настоящей работе предлагается новый метод для определения перенормированного g -фактора $2D$ -электронов в магнитном поле. В его основе лежит изучение магнитополевой зависимости квантовой величины холловской компоненты ρ_{xy} тензора магнитосопротивления $2D$ -системы в режиме квантового эффекта Холла. Известно, что зависимость ρ_{xy} от B для достаточно совершенных $2D$ -систем при низких температурах имеет вид кривой, состоящей из последовательного числа квантовых плато при значениях $\rho_{xy} = h/e^2 i$, где i — целое число (номер плато) [10].

Интервал магнитных полей ΔB_i , соответствующий ширине плато, зависит от номера плато i и температуры T . Далее будет показано, что зависимости ΔB_i от T позволяют получить величину перенормированного g -фактора при различных значениях магнитных полей B .

В настоящей работе целочисленный квантовый эффект Холла исследован на образцах гетероструктур GaAs— $\text{Ga}_{1-x}\text{Al}_x\text{As}$, полученных методом молекуллярно-лучевой эпитаксии, с концентрацией $2D$ -электронов $N = (2.5 \div 4) \cdot 10^{11} \text{ см}^{-2}$ и подвижностью $\mu = (3 \div 8) \cdot 10^5 \text{ см}^2/\text{В} \cdot \text{с}$.

Измерения проведены в области температур $0.05 \div 4.2 \text{ К}$ в магнитных полях B до 8.5 Т . Для получения сверхнизких температур использовался рефрижератор растворения $\text{He}^3 \div \text{He}^4$. Структуры были выполнены в стандартной холловской геометрии с шириной $2D$ -канала 100 мкм .

У исследованных гетероструктур GaAs— $\text{Ga}_{1-x}\text{Al}_x\text{As}$ наблюдалась последовательность холловских плато с номерами $i \geq 3$, а также пиков на полевой зависимости поперечного магнитосопротивления ρ_{xx} . При понижении температуры и увеличении подвижности электронов число наблюдаемых плато ρ_{xy} и пиков ρ_{xx} увеличивается. Так, например, для структуры с подвижностью электронов $\mu = 6 \cdot 10^5 \text{ см}^2/\text{В} \cdot \text{с}$ при температуре 0.05 К экспериментально разрешаются плато с номером $i \approx 50$. Типичные зависимости ρ_{xy} и ρ_{xx} от магнитного поля B для исследованных структур показаны на рис. 1.

Ширина плато ΔB_i определялась по интервалу магнитных полей, на краях которого величина ρ_{xy} отличается от своего значения в центре плато на 2% . В области температур $4.2 \div 0.5 \text{ К}$ ширина плато ΔB_i практически линейно возрастала при понижении температуры. При $T \leq 0.8 \text{ К}$ зависимость ΔB_i от T отклоняется от линейной и становится более резкой. Аналогичные зависимости ΔB_i от T наблюдались также в гетероструктурах InP— $\text{In}_x\text{Ga}_{1-x}\text{As}_x$ [11].

Зависимости ширины плато ΔB_i от температуры для различных i показаны на рис. 2. Они отражают изменение отношения числа локализованных и делокализованных состояний на уровне Ландау при изменении температуры.

Приведенные на рис. 2 зависимости могут быть проанализированы на основе следующей модели. Как отмечено в [12], делокализованные состояния на подуровне Ландау при $T=0 \text{ К}$ расположены в его центре в интервале энергий $\Delta \varepsilon_j$. Ширина интервала $\Delta \varepsilon_j$ зависит от параметра $\omega_c \tau$ ($\omega_c = eH/m_c c$ — циклотронная частота, τ — время релаксации электронов на уровне Ландау) и в свою очередь

определяется видом случайного потенциала, зависящего от степени совершенства 2D-слоя. Границы интервала $\Delta\varepsilon_j$ представляют собой электронный и дырочный пороги подвижности на j -м подуровне Ландау. При конечной температуре число делокализованных состояний возрастает за счет термически делокализованных электронов вблизи порога подвижности [13]. В 2D-системе это эквивалентно тому, что порог подвижности сдвигается по энергии на некоторую величину, зависящую от T . При величине kT , меньшей среднего значения V_0 амплитуды случайного потенциала, сдвиг порога подвижности пропорционален $\exp(-V_0/kT)$. При $kT > V_0$ концентрация термически делокализованных состояний пропорциональна T и интервал $\Delta\varepsilon_j$ может быть записан в виде [14]

$$\Delta\varepsilon_j = A_j + C_j kT, \quad (1)$$

где A_j , C_j зависят от $\omega_c\tau$ и j .

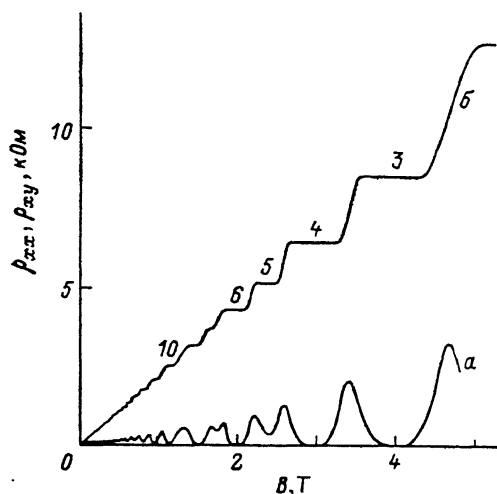


Рис. 1. Зависимости от магнитного поля B поперечного ρ_{xx} (a) и холловского ρ_{xy} (b) сопротивлений для образца гетероструктуры с подвижностью $\mu=6.5 \cdot 10^5$ см²/В·с при $T=0.4$ К.

Цифры на кривой б соответствуют номерам плато i .

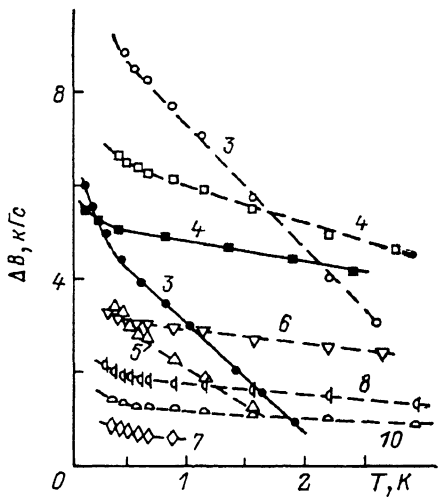


Рис. 2. Зависимость ширины плато ΔB_i от температуры T для двух образцов гетероструктур с подвижностями $\mu=6.5 \cdot 10^5$ (светлые точки) и $\mu=3.1 \cdot 10^5$ см²/В·с (темные).

Цифры у кривых соответствуют номерам плато i .

Плато, наблюдающиеся в целочисленном квантовом эффекте Холла, соответствуют интервалам магнитных полей ΔB_i , на краях которых уровень Ферми совпадает с порогами подвижности на соседних подуровнях Ландау с номерами j и $j+1$. При этом номер плато i совпадает с номером подуровня Ландау $j+1$, на котором дырочный порог подвижности определяет верхнюю границу плато по магнитному полю. Главное квантовое число n уровня Ландау следующим образом связано с номером плато i :

$$\begin{aligned} i &= 2n + 1 \quad (\text{для нечетных плато}), \\ i &= 2n + 2 \quad (\text{для четных плато}). \end{aligned} \quad (2)$$

Обозначим через B_{i-1}^e и B_i^h величины магнитных полей, которые представляют собой границы i -го плато: $\Delta B_i = B_i^h - B_{i-1}^e$, и учтем, что g -фактор и уровень Ферми 2D-электронов зависят от магнитного поля. Можно показать, что в этом случае ширина плато ΔB_i может быть записана в виде следующих выражений:

$$\Delta B_i^{\text{обр}} = \frac{m_c}{\mu_B m_0} \left[\frac{\varepsilon_F(B_i^h) - \frac{\Delta\varepsilon_i}{2}}{i - \frac{m_c}{2m_0} g(B_i^h)} - \frac{\varepsilon_F(B_{i-1}^e) + \frac{\Delta\varepsilon_{i-1}}{2}}{i + \frac{m_c}{2m_0} g(B_{i-1}^e)} \right] \quad (3)$$

для нечетного плато,

$$\Delta B_i^{\text{even}} = \frac{m_e}{\mu_B m_0} \left[\frac{\varepsilon_F(B_i^h) - \frac{\Delta\varepsilon_i}{2}}{i+1 + \frac{m_e}{2m_0} g(B_i^h)} - \frac{\varepsilon_F(B_{i-1}^e) + \frac{\Delta\varepsilon_{i-1}}{2}}{i-1 - \frac{m_e}{2m_0} g(B_{i-1}^e)} \right] \quad (4)$$

для четного плато ($\mu_B = e\hbar/2m_0c$ — магнетон Бора).

Если принять, что уровни Ферми ε_F и g -фактор 2D-электронов не зависят от магнитного поля B , то формулы (3) и (4) переходят в аналогичные выражения, полученные нами ранее в работах [14, 15].

Выражения (3) и (4) совместно с (1) способны объяснить характер экспериментальных зависимостей ΔB_i от T . В частности, линейное уменьшение ΔB_i при понижении температуры при $T \geq 0.8$ К можно объяснить линейной зависимостью $\Delta\varepsilon_i$, $\Delta\varepsilon_{i-1}$ от T (1), которая имеет место при $kT > V_0$. Переход

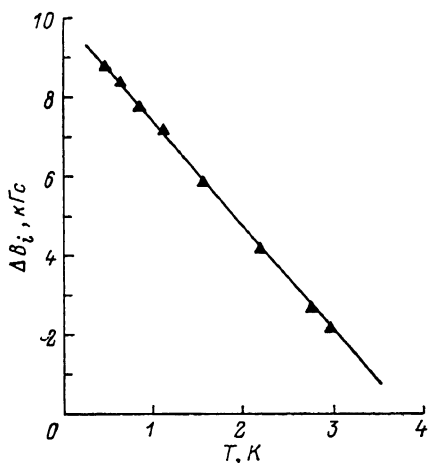


Рис. 3. Расчетная зависимость ширины плато ΔB_i с $i=3$ от температуры для образца гетероструктуры с подвижностью $\mu=6.5 \cdot 10^6 \text{ см}^2/\text{В}\cdot\text{с}$ (сплошная прямая). Точки — экспериментальные значения ΔB_i .

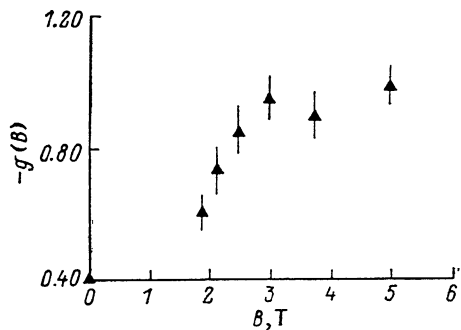


Рис. 4. Зависимость среднего значения (g_i) g -фактора на плато с номером i от магнитного поля B_i , соответствующего центру плато.

Данные для образца гетероструктуры $\text{GaAs}-\text{Ga}_{1-x}\text{Al}_x\text{As}$ с концентрацией 2D-электронов $N=4 \cdot 10^{11} \text{ см}^{-2}$ и подвижностью $\mu=6.5 \cdot 10^6 \text{ см}^2/\text{В}\cdot\text{с}$ при $T=4.2$ К.

к более резкой зависимости ΔB_i от T при $T \leq 0.8$ К связан с переходом к экспоненциальному уменьшению $\Delta\varepsilon_i$ с температурой при $kT < V_0$. Таким образом, изменение характера температурных зависимостей ширины плато в области $T \approx 0.8$ К позволяет оценить среднее значение амплитуды случайного потенциала 2D-слоя: $V_0 \approx 0.07$ мэВ.

В области линейной зависимости ширины плато от температуры формулы (3), (4) и (1) могут быть использованы для вычисления ΔB_i при известных параметрах $\varepsilon_F(B_i^h)$, $\varepsilon_F(B_{i-1}^e)$, $g(B_i^h)$, $g(B_{i-1}^e)$, A_i , C_i , A_{i-1} , C_{i-1} .

Указанные параметры можно найти с помощью подгоночного расчета путем их варьирования и сопоставления вычисленного ΔB_i с экспериментальными значениями ΔB_i при различных температурах.

Учитывая то, что формулы (3) и (4) достаточно сложны и содержат 8 неизвестных параметров, в настоящей работе в качестве первого приближения использовались формулы (8) и (9) из работы [14], в которых по существу предполагается, что $\varepsilon_F(B_i^h)=\varepsilon_F(B_{i-1}^e)=\varepsilon_F^0$ (ε_F^0 — энергия Ферми при $H=0$) и $g(B_i^h)=g(B_{i-1}^e)=g_i$. Это позволяет сократить число параметров до 3. Приближение $\varepsilon_F(B)=\varepsilon_F^0$ вполне допустимо, поскольку в эксперименте измерялись плато с номерами $i \geq 3$, для которых, согласно [9], изменение ε_F в магнитном поле не превышает 15 % от ε_F^0 . Для вычисления параметров A_i , C_i и g_i был использован координатный метод наименьших квадратов с фиксированным шагом. Процесс минимизации контролировался по параметру SQ :

$$SQ = \sum_k [Y_k - f_k(g_i^{(k)}, A_i^{(k)}, C_i^{(k)})]^2, \quad (5)$$

где функция f_k определялась уравнениями (3) или (4) для нечетных и четных плато соответственно.

Значения параметров A_i , C_i и g_i , а также параметра минимизации SQ для различных плато с квантовыми номерами от 3 до 8 для образца гетероструктуры GaAs— $\text{Ga}_{1-x}\text{Al}_x\text{As}$ с подвижностью $\mu=6 \cdot 10^5 \text{ см}^2/\text{В} \cdot \text{с}$ и концентрацией $2D$ -электронов $N=2 \cdot 10^{11} \text{ см}^{-2}$ приведены в таблице.

Число точек	№ плато i	Магнитное поле B_i в середине плато, Т	$\frac{A_i}{e_i}$	$\frac{C_i k}{e_i} \cdot 10^2, \text{ к}^{-1}$	g_i	Параметр минимизации SQ
8	3	4.98	0.170	3.2 (8)	0.98 (9)	0.24240
8	4	3.74	0.126	1.2 (0)	0.90 (4)	0.28869
6	5	3.01	0.090	3.0 (7)	0.95 (1)	0.18849
8	6	2.48	0.084	0.6 (9)	0.85 (1)	0.11696
6	7	2.14	0.069	0.6 (4)	0.7 (40)	0.14533
9	8	1.87	0.085	0.5 (9)	0.6 (1)	0.25101

Примечание. e_i — энергия, соответствующая середине подуровня Ландау с номером i .

Пример соответствия расчетной зависимости ΔB_i от T экспериментальным значениям ΔB_i , при различных T показан на рис. 3.

Таким образом, используемый в настоящей работе в качестве первого приближения метод вычисления g_i по существу позволяет определить некоторое среднее значение g -фактора в интервале магнитных полей ΔB_i , при вычислении которого предполагается равенство значений g -факторов электронов на границе интервала ΔB_i .

Естественно, что найденная система g_i должна быть отнесена к значению магнитного поля B_i в центре плато с номером i .

Зависимость g_i от магнитного поля в центре соответствующего плато приведена на рис. 4.

Полученная зависимость g_i от B_i качественно согласуется с представлениями о связи g -фактора с обменным взаимодействием электронов, находящихся на расщепленных по спину подуровнях Ландау. Действительно, согласно [4], энергия E_{ex} обменного взаимодействия, которая определяет перенормированный g -фактор, пропорциональна разности заселенностей N_\uparrow и N_\downarrow подуровней с противоположными направлениями спинов: $E_{ex}=E_{ex}^0(N_\uparrow-N_\downarrow)$, где E_{ex}^0 — постоянная величина. При низких температурах и конечной ширине подуровней разность заселенностей быстро растет в слабых полях в результате уменьшения перекрытия подуровней и насыщается в сильных полях, при которых спиновое расщепление превышает ширину подуровня и перекрытие снимается. Такой характер полевой зависимости обменной энергии E_{ex} отражен в полученной кривой $g_i(B_i)$, которая быстро возрастает в слабых полях и имеет тенденцию к насыщению — в сильных. Немонотонный характер расположения точек на рис. 4 в принципе может быть связан с осциллирующей зависимостью g от B . Для выяснения детального хода зависимости g от B в дальнейшем будет проведено вычисление с помощью более точных формул (3) и (4), в которых не предполагается постоянство g в интервале полей ΔB_i и не используется приближение $e_F(B)=e_F^0$.

В заключение отметим, что абсолютные значения g -фактора, полученные в настоящей работе, численно хорошо согласуются с величиной g среднего g -фактора, найденного методом наклонного поля для гетероструктур GaAs— $\text{Ga}_{1-x}\text{Al}_x\text{As}$ в работе [8].

Список литературы

- [1] Fang F. F., Stiles P. J. // Phys. Rev. 1968. V. 174. N 3. P. 823—828.
- [2] Nicholas R. J., Brummell M. A., Portal J. C., Cheng K. Y., Cho A. Y., Pearsall T. P. // Sol. St. Commun. 1983. V. 45. N 13. P. 911—915.
- [3] Raymond A., Robert J. L., Bousquet C. // Sol. St. Commun. 1985. V. 55. N 3. P. 271—274.
- [4] Ando T., Uemura Y. // J. Phys. Soc. Japan. 1974. V. 37. N 4. P. 1044—1052.
- [5] Stein D., Klitzing K., Weimann G. // Phys. Rev. Lett. 1983. V. 51. N 2. P. 130—133.
- [6] Ando T., Fowler A. B., Stern F. // Rev. Mod. Phys. 1982. V. 54. N 2. P. 437—462.

- [7] Брандт Н. Б., Чудинов С. М. Энергетические спектры электронов и фононов в металлах. М., 1980. 340 с.
- [8] Nicholas R. J., Hang R. J., Klitzing K., Weimann G. // Phys. Rev. 1988. V. B37. N 3. P. 1294—1302.
- [9] Нижанковский В. И., Медведев Б. К., Мокеров В. Г. // Письма ЖЭТФ. 1988. Т. 47. В. 7. С. 343—345.
- [10] Klitzing K., Dorda G., Pepper M. // Phys. Rev. Lett. 1980. V. 45. N 6. P. 494—501.
- [11] Briggs A., Guldner Y., Vierren J.-P., Voos M., Hirtz J. P., Raseghi M. // Phys. Rev. 1983. V. B27. N 10. P. 6549—6554.
- [12] Рашба Э. И., Тимофеев В. В. // ФТП. 1986. Т. 20. В. 6. С. 977—1024.
- [13] Ando T., Murayama Y. J. // J. Phys. Soc. Japan. 1985. V. 53. N 4. P. 44—49.
- [14] Chudinov S. M., Kulbachinskii V. A., Lozovik Yu. E., Rodichev D. Yu., Devoli I., Mançini G., Stizza S. // Sol. St. Commun. 1990. V. 73. N 8. P. 583—587.
- [15] Брандт Н. Б., Кульбачинский В. А., Лозовик Ю. Е., Медведев Б. К., Мокеров В. Г., Родичев Д. Ю., Чудинов С. М. // ФТП. 1989. Т. 31. В. 3. С. 73—78.

Московский государственный университет
им. М. В. Ломоносова

Получена 11.03.1990
Принята к печати 21.05.1990
